



ACTUALITÉS EN RÉANIMATION
Réanimation, Surveillance Continue
et Urgences Graves

14 et 15 novembre 2013

Cité Centre de Congrès de Lyon

Gestion de la température dans le choc septique

Frédérique Schortgen
GH Mondor-APHP-Créteil

Alexandre le Grand
mort à Babylone en 323 av. J.-C.



Éphémérides Royales

Eumène de Cardia
(*archigrammate* : « premier secrétaire ») d'Alexandre le Grand

Détail des derniers jours du roi
entre le 15 et le 28 du mois de Dæsios (27 mai au 10
juin)

1^{er} Juin

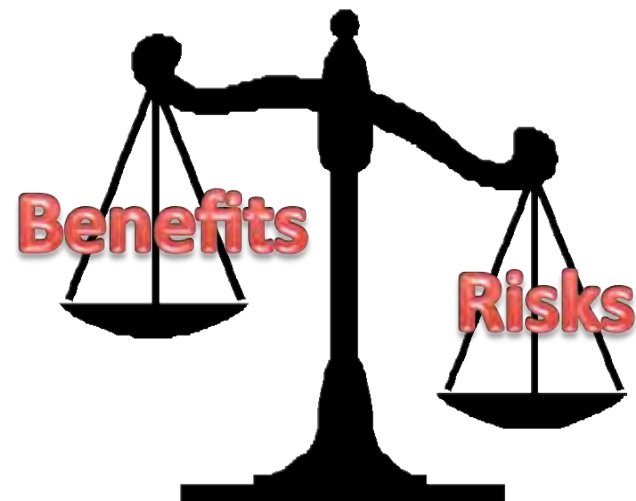
il prit un bain ; après le bain, il mangea un peu et dormit dans le lieu même, parce qu'il avait déjà la fièvre. Le lendemain, il prit de nouveau un bain et fit le sacrifice ordonné. **il eut la fièvre** toute la nuit sans interruption. Le jour suivant, il prit un bain, et après ce bain il fit le sacrifice. Couché dans la salle de bains, il passa le temps avec les officiers de Néarque, écoutant ce qu'ils disaient de la navigation et de la grande mer.

Le jour suivant, il prit un nouveau bain, il fit les sacrifices ordonnés. **Il ne cessa plus d'avoir la fièvre**, et la chaleur fébrile fut plus grande. ...la nuit fut pénible. Le jour suivant, il fut transporté dans la maison située près du grand bassin ; il fit, il est vrai, le sacrifice ordinaire, mais **il avait beaucoup de fièvre**. Il resta couché ;

18 Juin

même état, et le lendemain **le roi mourut vers le soir**.

Fever control



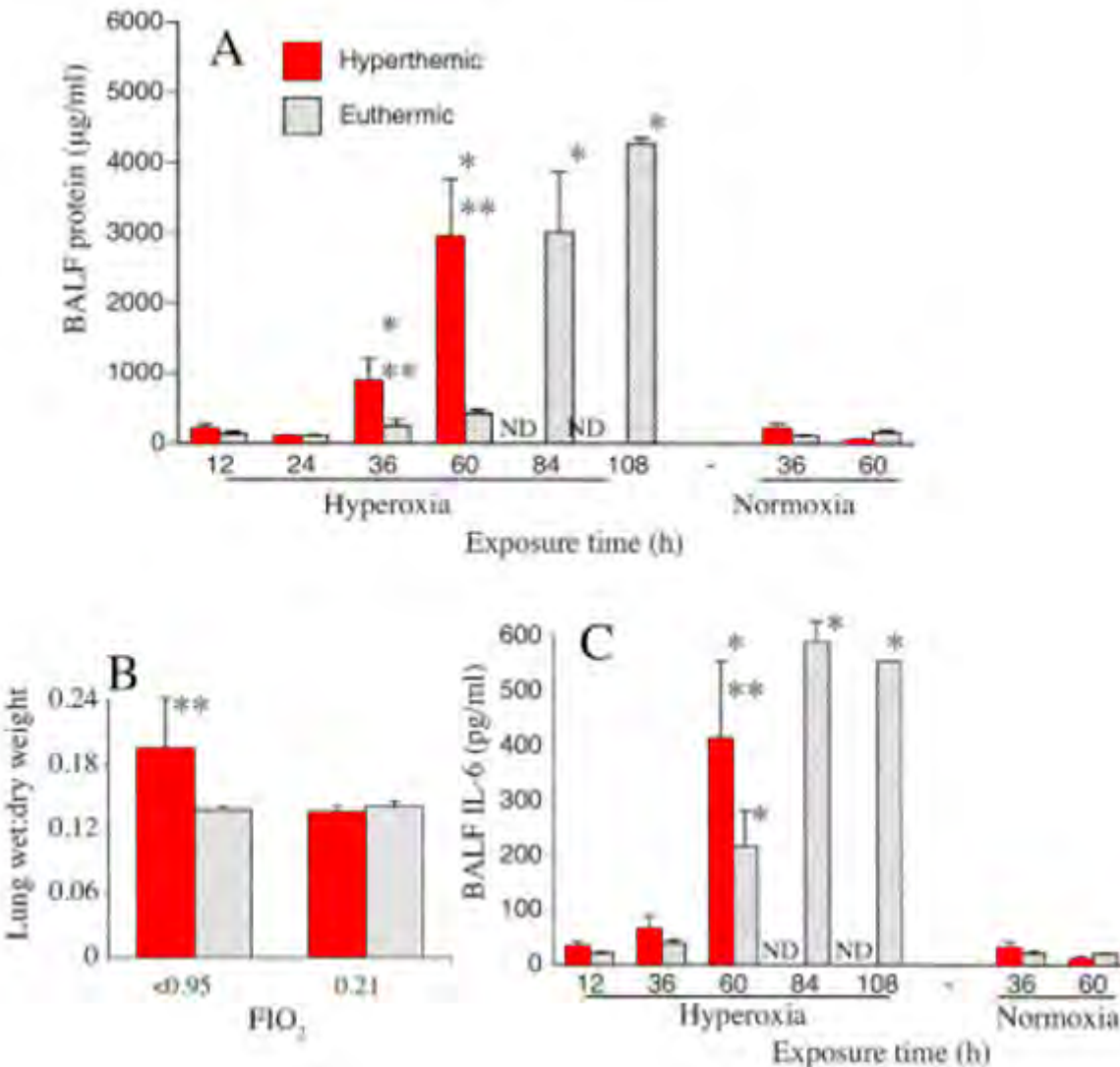
Rôle de la fièvre dans le control de l'infection: **Les risques**

➤ La fièvre est pro inflammatoire

Febrile-Range Hyperthermia Augments Pulmonary Neutrophil Recruitment and Amplifies Pulmonary Oxygen Toxicity

Jeffrey D. Hasday

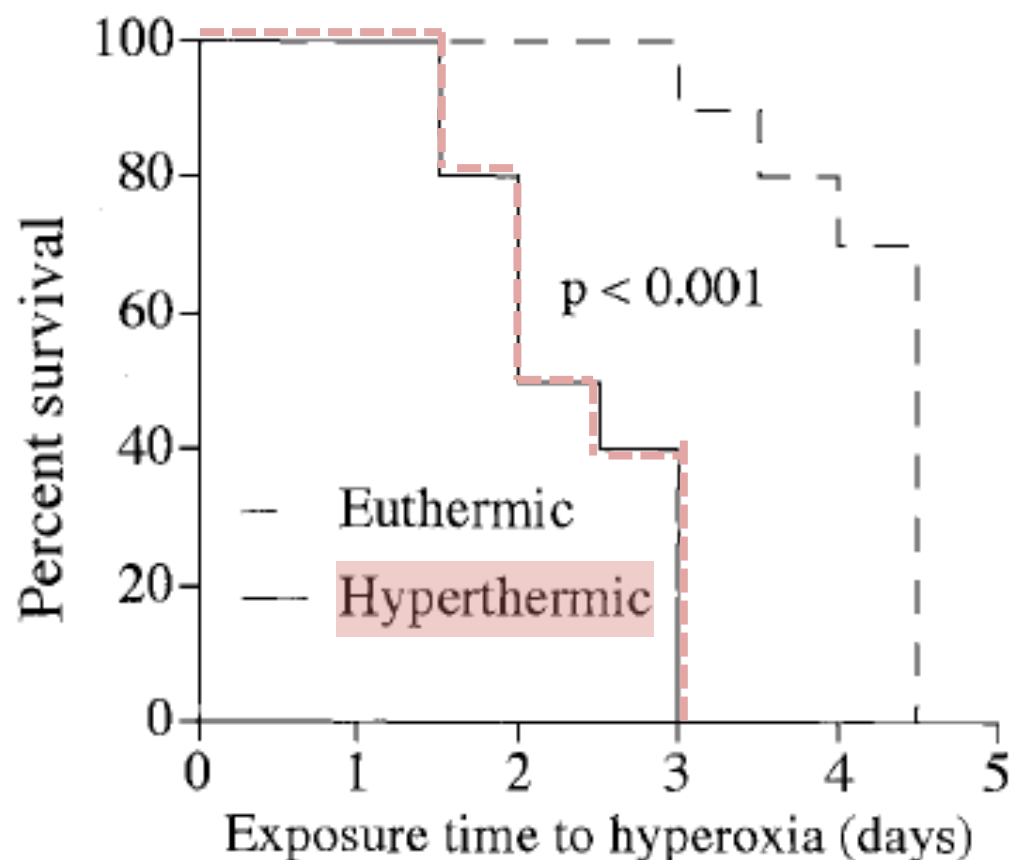
American Journal of Pathology, Vol. 162, No. 6, June 2003



Febrile-Range Hyperthermia Augments Pulmonary Neutrophil Recruitment and Amplifies Pulmonary Oxygen Toxicity

Jeffrey D. Hasday

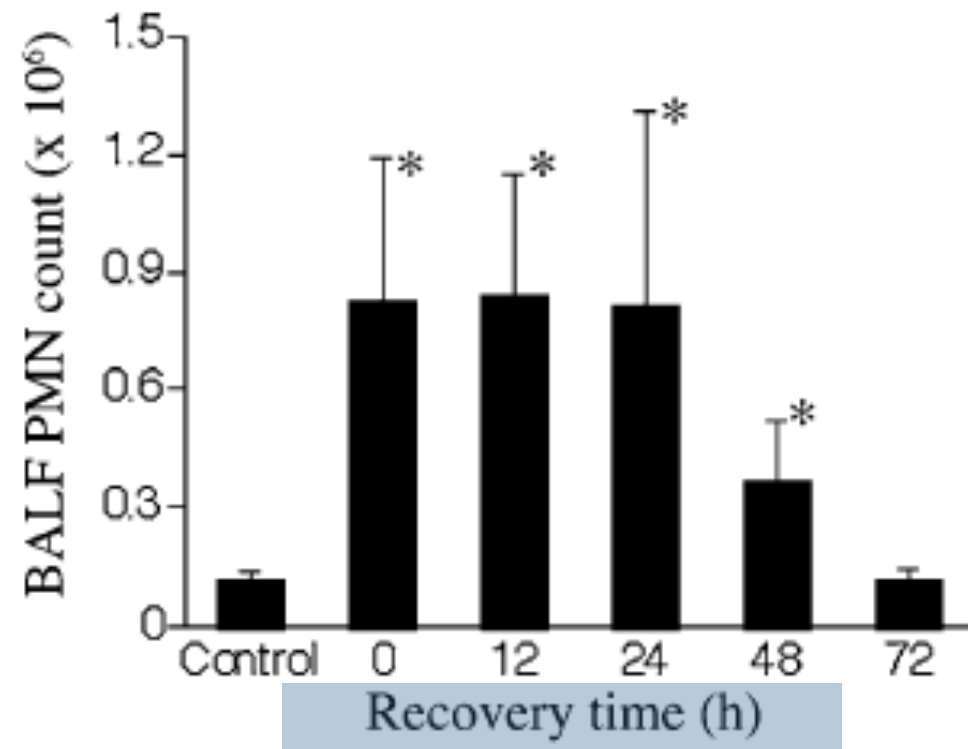
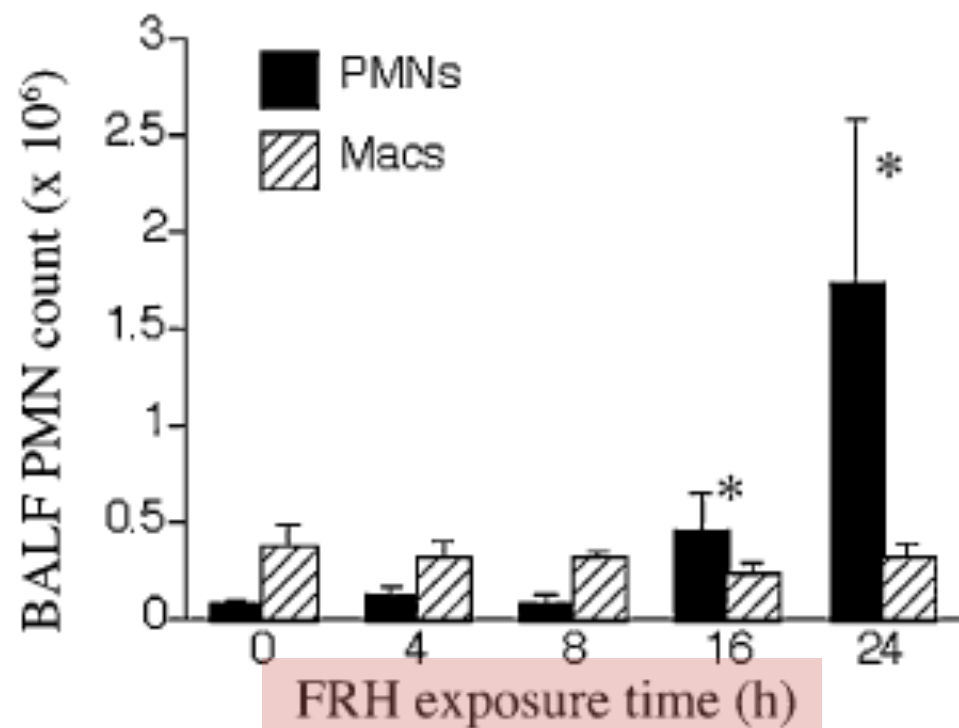
American Journal of Pathology, Vol. 162, No. 6, June 2003



Febrile-Range Hyperthermia Modifies Endothelial and Neutrophilic Functions to Promote Extravasation

Mohan E. Tulapurkar^{1,2*}, Eid A. Almutairy^{1*}, Nirav G. Shah¹, Ju-ren He^{1,5}, Adam C. Puche⁴,
Paul Shapiro³, Ishwar S. Singh^{1,2,5}, and Jeffrey D. Hasday^{1,2,5}

More body temperature more lung inflammation



Core temperature was maintained at approximately 39.5°C

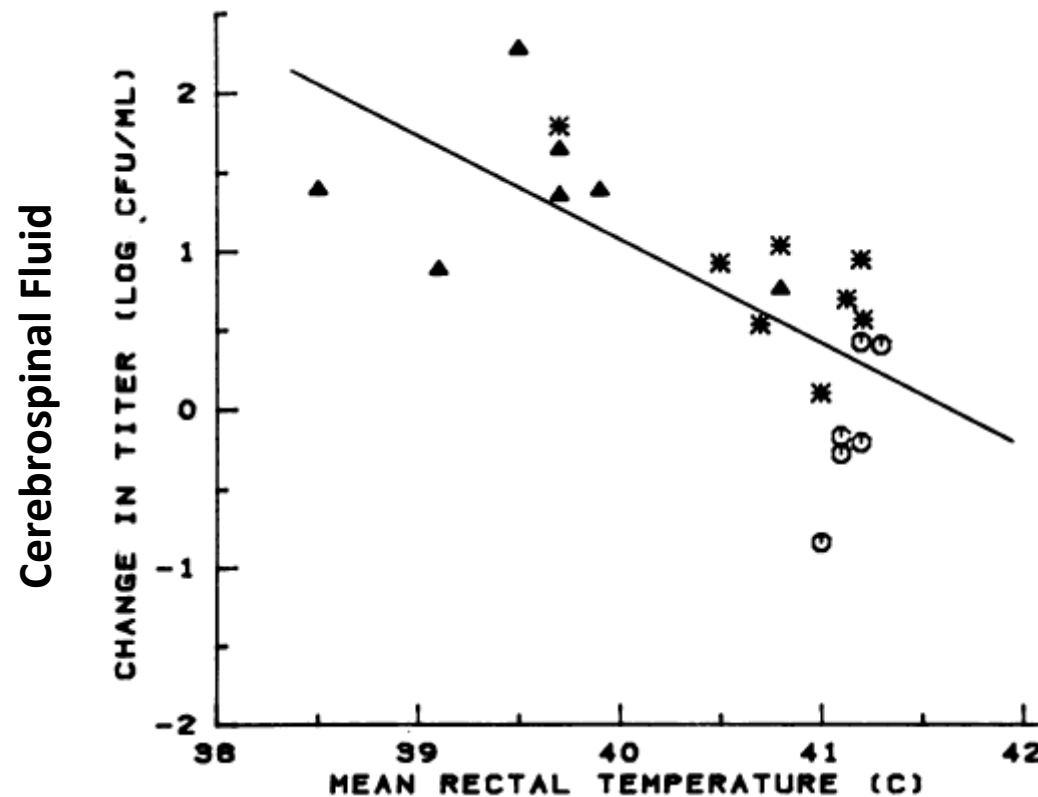
Rôle de la fièvre dans le control de l'infection: Les bénéfices

- La fièvre inhibe la replication virale et la croissance bactérienne
- La fièvre stimule les défenses immunitaires

Influence of Body Temperature on Bacterial Growth Rates in Experimental Pneumococcal Meningitis in Rabbits

P. M. SMALL, M. G. TÄUBER,† C. J. HACKBARTH, AND M. A. SANDE*

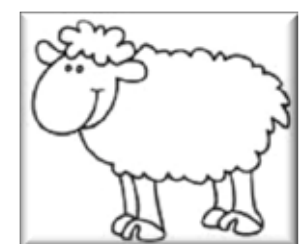
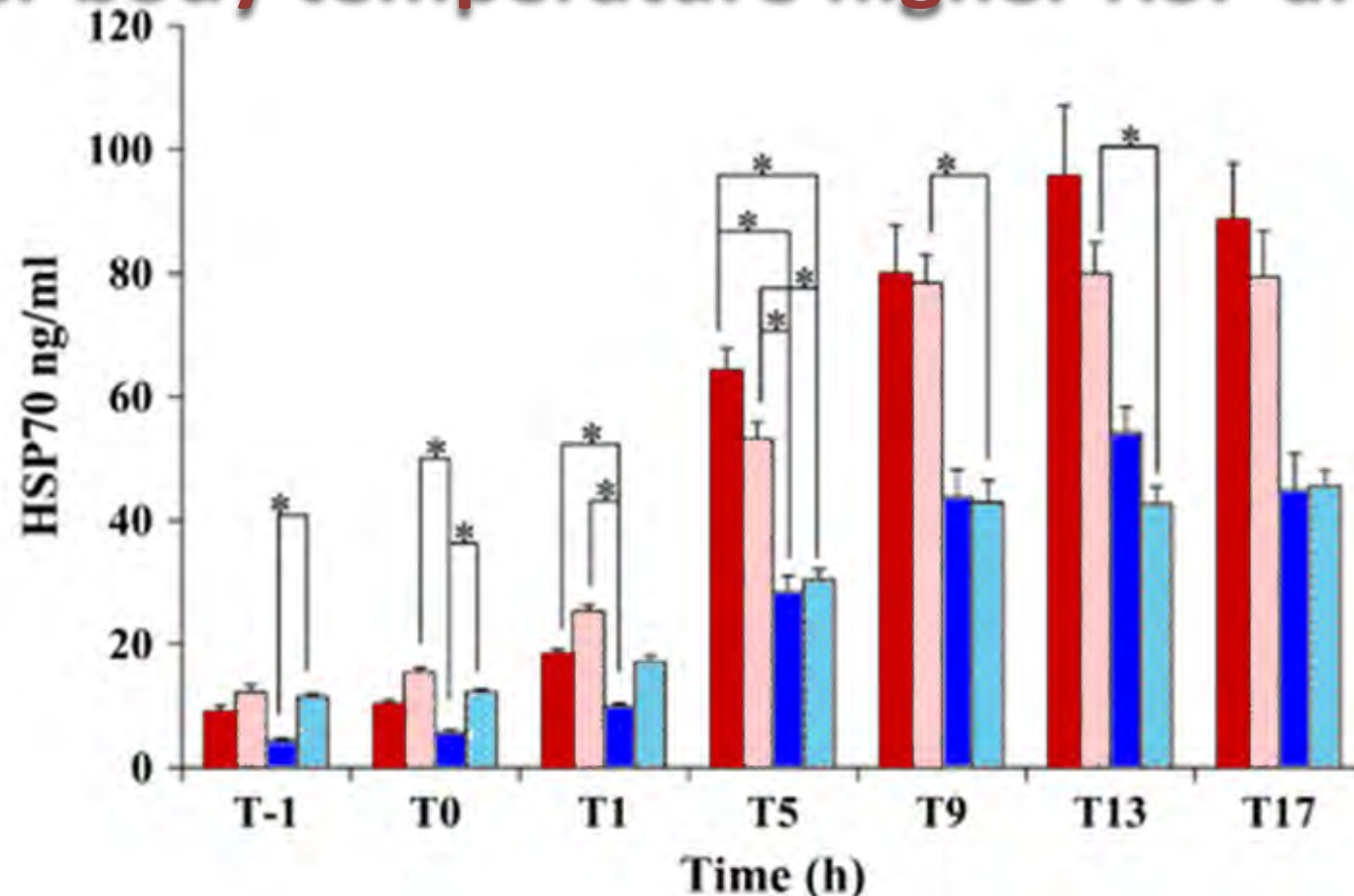
Higher body temperature lower bacterial load



FEVER CONTROL IN SEPTIC SHOCK: BENEFICIAL OR HARMFUL?

Fuhong Su,* Nam Duc Nguyen,† Zhen Wang,* Ying Cai,‡ Peter Rogiers,§
and Jean-Louis Vincent*

Higher body temperature higher HSP and survival



Fievre et inflammation

bon ou mauvais?

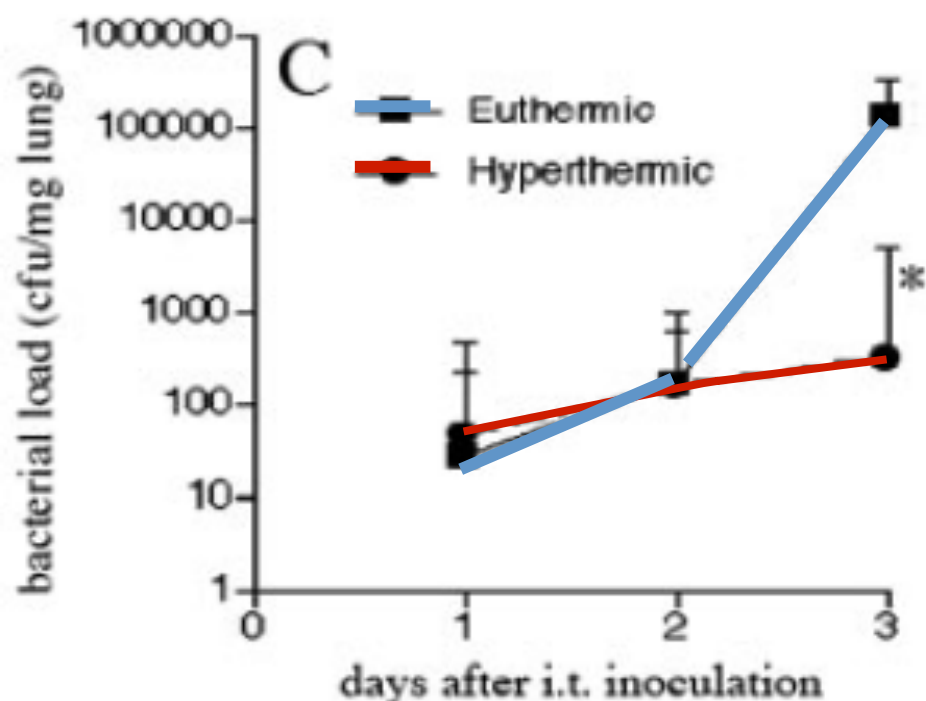


Fever & inflammation good or bad?

Febrile-Range Hyperthermia Augments Neutrophil Accumulation and Enhances Lung Injury in Experimental Gram-Negative Bacterial Pneumonia¹

Penelope Rice,* Erica Martin,* Ju-Ren He,* Mariah Frank,* Louis DeTolla,[†] Lisa Hester,*[‡]
Timothy O'Neill,[†] Cheu Manka,* Ivor Benjamin,^{||} Ashish Nagarsekar,* Ishwar Singh,*^{‡¶} and
Jeffrey D. Hasday^{2,*†‡§¶}

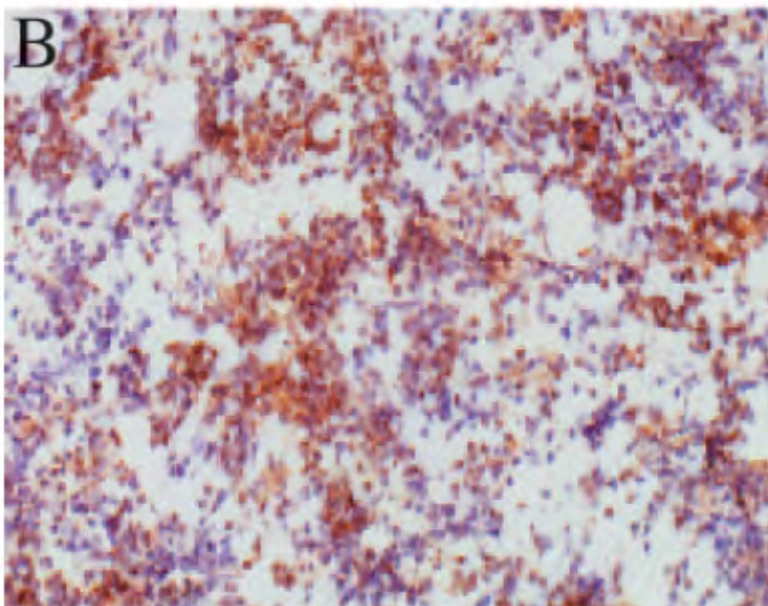
Journal of Immunology, 2005, 174: 3676–3685.



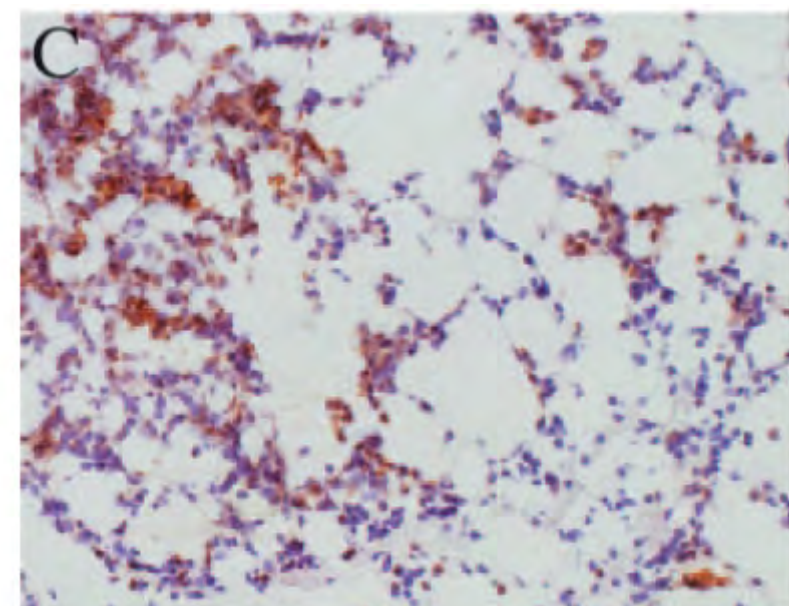
Febrile-Range Hyperthermia Augments Neutrophil Accumulation and Enhances Lung Injury in Experimental Gram-Negative Bacterial Pneumonia¹

Penelope Rice,* Erica Martin,* Ju-Ren He,* Mariah Frank,* Louis DeTolla,[†] Lisa Hester,*[‡]
Timothy O'Neill,[†] Cheu Manka,* Ivor Benjamin,^{||} Ashish Nagarsekar,* Ishwar Singh,*^{‡¶} and
Jeffrey D. Hasday^{2,*†‡§¶}

Lung histology



Hyperthermic

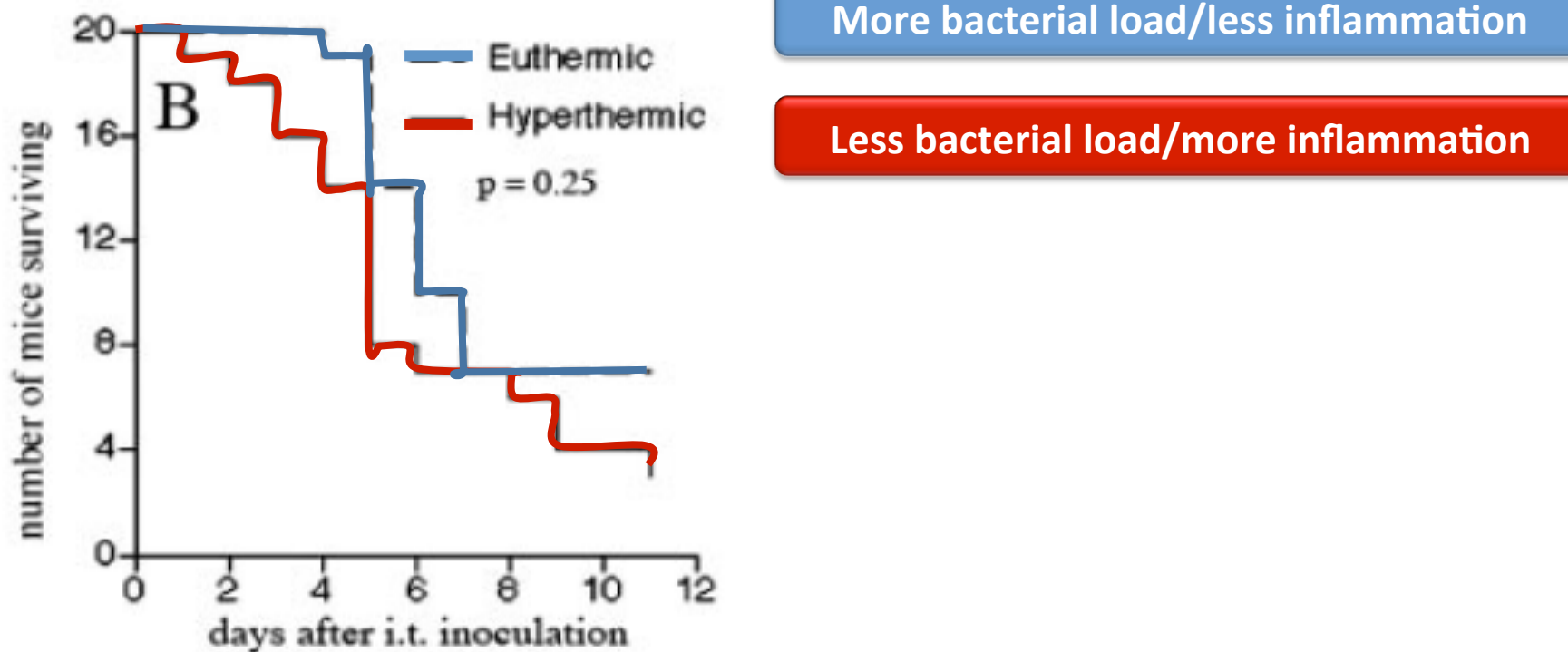


Euhermic

More bacterial load
but less inflammation

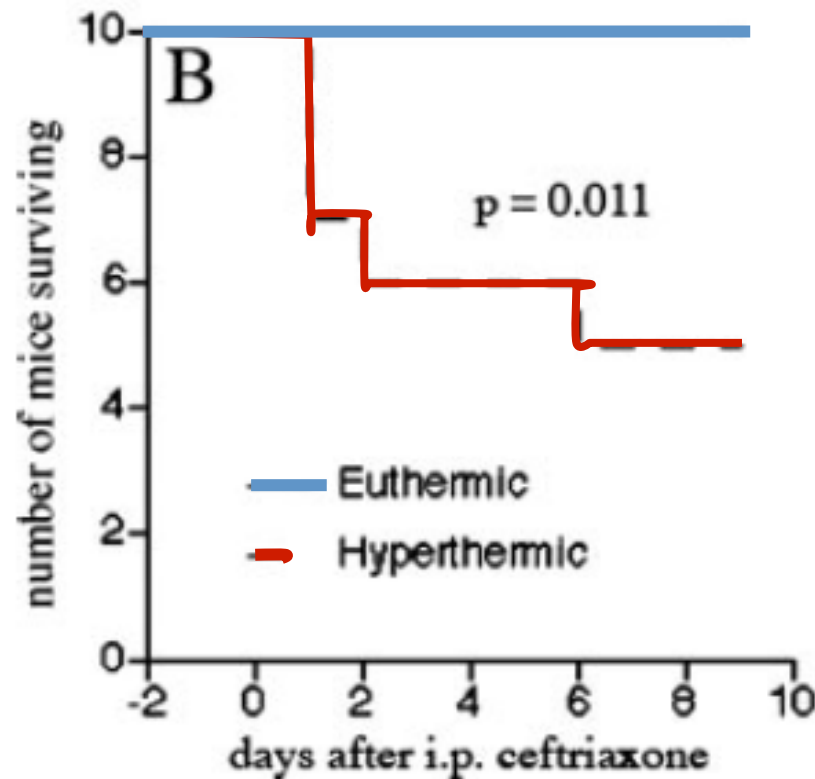
Febrile-Range Hyperthermia Augments Neutrophil Accumulation and Enhances Lung Injury in Experimental Gram-Negative Bacterial Pneumonia¹

Penelope Rice,* Erica Martin,* Ju-Ren He,* Mariah Frank,* Louis DeTolla,† Lisa Hester,*
Timothy O'Neill,† Cheu Manka,* Ivor Benjamin,|| Ashish Nagarsekar,* Ishwar Singh,*†‡ and
Jeffrey D. Hasday^{2*}†‡§¶



Febrile-Range Hyperthermia Augments Neutrophil Accumulation and Enhances Lung Injury in Experimental Gram-Negative Bacterial Pneumonia¹

Penelope Rice,* Erica Martin,* Ju-Ren He,* Mariah Frank,* Louis DeTolla,[†] Lisa Hester,*[‡]
Timothy O'Neill,[†] Cheu Manka,* Ivor Benjamin,^{||} Ashish Nagarsekar,* Ishwar Singh,*^{‡¶} and
Jeffrey D. Hasday^{2,*†‡§¶}



Fever control is beneficial when bacterial load is controlled by antibiotics



Les risques de la fièvre sur l'hémodynamique:

Heat production

↑ metabolism
Tachycardia
↑ Qc
Hyperpnea

↑ VO₂
↑ CO₂ production

Heat gain

Vasodilatation
Sweating

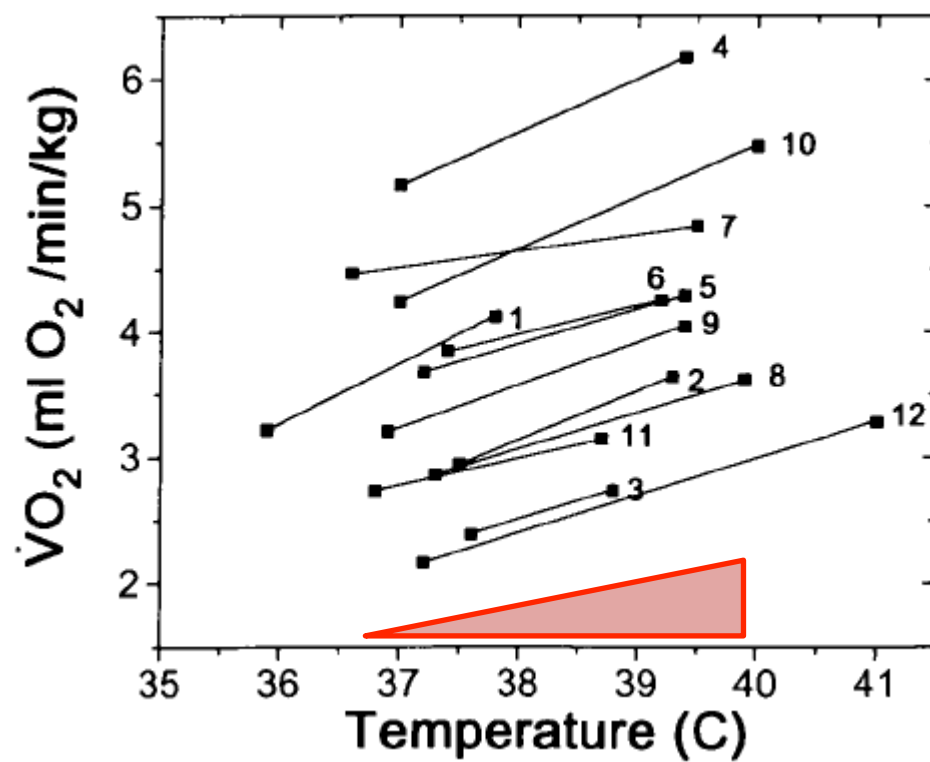
Hypotension
Fluid losses

Effect of Cooling on Oxygen Consumption in Febrile Critically Ill Patients

Am J Respir Crit Care Med Vol 151, pp 10-14, 1995

CONSTANTINE A. MANTHOUS, JESSE B. HALL, DAVID OLSON, M. SINGH, WISAM CHATILA, ANNE POHLMAN, ROBERT KUSHNER, GREGORY A. SCHMIDT, and LAWRENCE D. H. WOOD

In the absence of shivering!



Mean \pm SD % $\Delta\dot{V}O_2/{}^{\circ}$ C 9.7 ± 3.4

Contrôle de la température dans le choc septique: Par quelle méthode?

Metabolic effects of i.v. propacetamol, metamizol or external cooling in critically ill febrile sedated patients

British Journal of Anaesthesia 1997; 78: 123–127

B. POBLETE, J.-A. ROMAND, C. PICHARD, P. KÖNIG AND P. M. SUTER

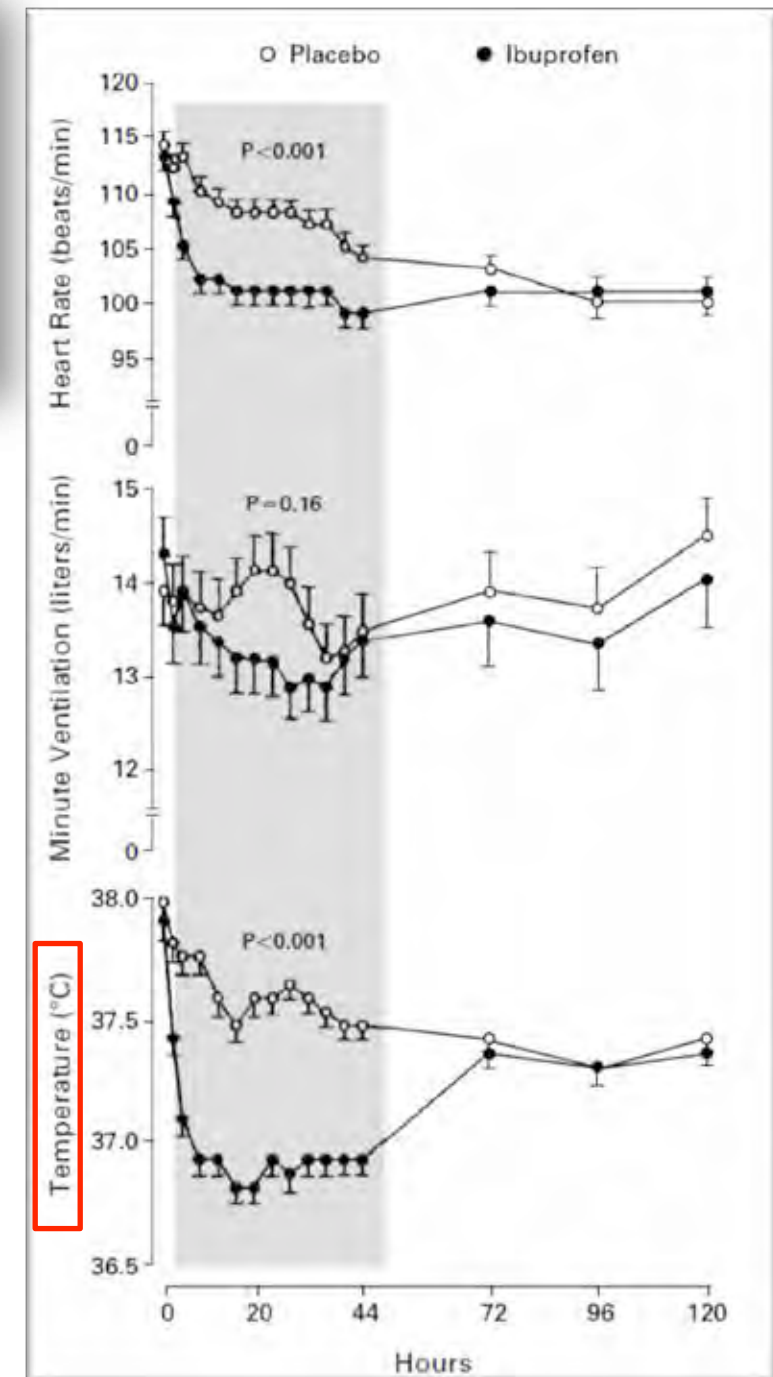
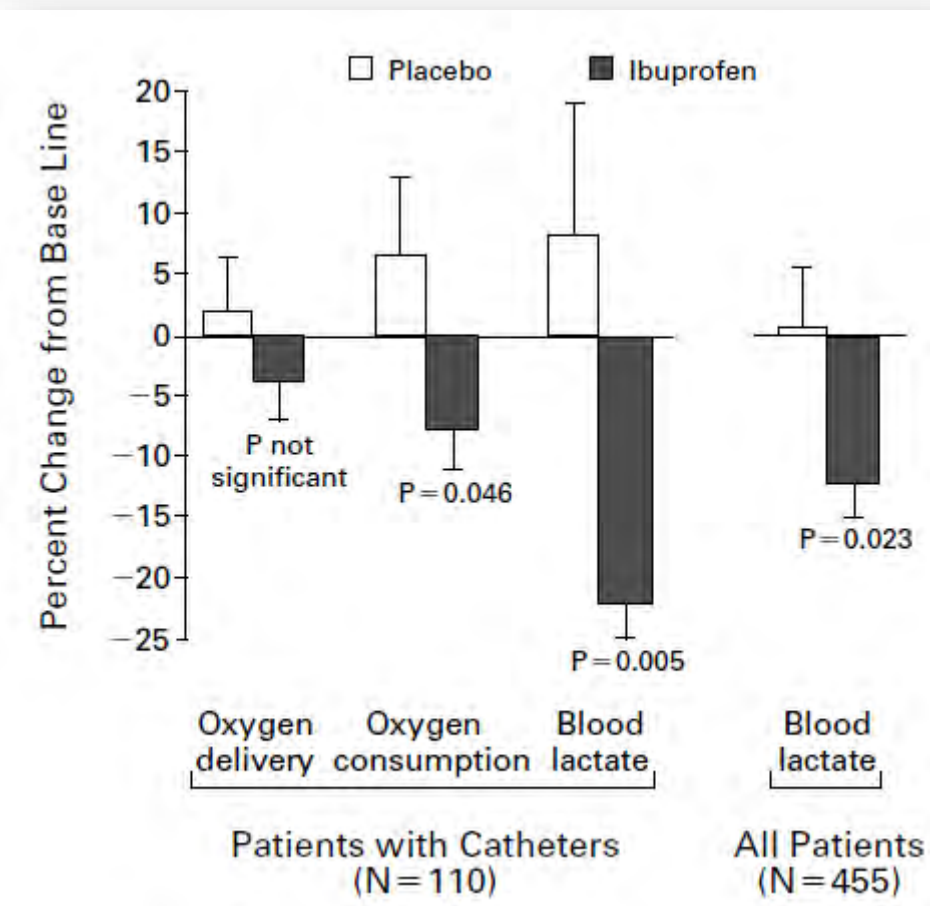
Before/After fever treatment (1h)

Method		T (°C)	HR (beat min ⁻¹)	MAP (mm Hg)	EE (kcal day ⁻¹)	$\dot{V}O_2$ (ml min ⁻¹)	$\dot{V}CO_2$ (ml min ⁻¹)
Propacetamol (n=11)	Baseline	39.2 (0.2)	117 (5)	79 (5)	1974 (76)	286 (13)	258 (14)
	After treatment	39.2 (0.2)	114 (5)	79 (5)	2009 (85)	287 (12)	260 (16)
	% Baseline				1.8 (1.8)	0.6 (2.1)	0.6 (1.8)
Metamizol (n=12)	Baseline	38.9 (0.2)	118 (4)	79 (4)	2006 (90)	285 (13)	262 (14)
	After treatment	38.5 (0.3)*	112 (4)*	79 (5)	1946 (109)	282 (17)	254 (14)
	% Baseline				-2.9 (4.0)	-1.2 (4.5)	3.0 (1.7)
External cooling (n=16)	Baseline	39.1 (0.2)	110 (4)	84 (4)	2034 (73)	297 (11)	252 (10)
	After treatment	37.1 (0.2)***	96 (5)***	85 (4)	1791 (88)*	259 (12)*	226 (15)*
	% Baseline				-11.9 (3.5)	-12.6 (3.3)	-10.9 (4.3)

**Under light sedation
No neuromuscular blockers**

THE EFFECTS OF IBUPROFEN ON THE PHYSIOLOGY AND SURVIVAL OF PATIENTS WITH SEPSIS

GORDON R. BERNARD, M.D., ARTHUR P. WHEELER, M.D., JAMES A. RUSSELL, M.D., ROLAND SCHEIN, M.D.,
 WARREN R. SUMMER, M.D., KENNETH P. STEINBERG, M.D., WILLIAM J. FULKERSON, M.D., PATRICK E. WRIGHT, M.D.,
 BRIAN W. CHRISTMAN, M.D., WILLIAM D. DUPONT, PH.D., STANLEY B. HIGGINS, PH.D.,
 AND BRIDGET B. SWINDELL, R.N., FOR THE IBUPROFEN IN SEPSIS STUDY GROUP*





Nonsteroidal Antiinflammatory Drugs May Affect the Presentation and Course of Community-Acquired Pneumonia

Guillaume Voiriot, MD; Sandra Dury, MD; Antoine Parrot, MD; Charles Mayaud, MD; and Muriel Fartoukh, MD

NSAIDs before hospital admission:

- More pleural effusion
- More cavitations
- More AB days
- Longer LOS

Paracetamol

Does therapeutic use of acetaminophen cause acute liver failure?

Dart RC, Bailey E. Pharmacotherapy 2007;27(9):1219-1230.

**Paracetamol in therapeutic dosages and acute liver injury:
causality assessment in a prospective case series.**

Sabate M, Ibanez L, Perez E, et al. BMC Gastroenterol 2011;11:80.

**Effect of intravenous propacetamol on blood pressure in febrile
critically ill patients**

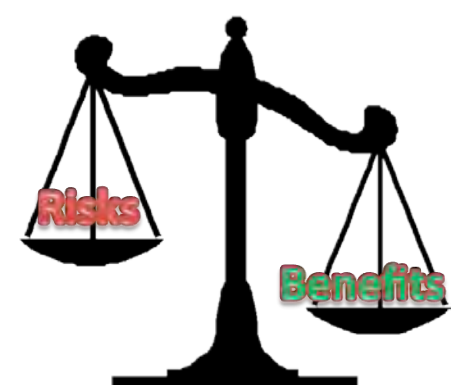
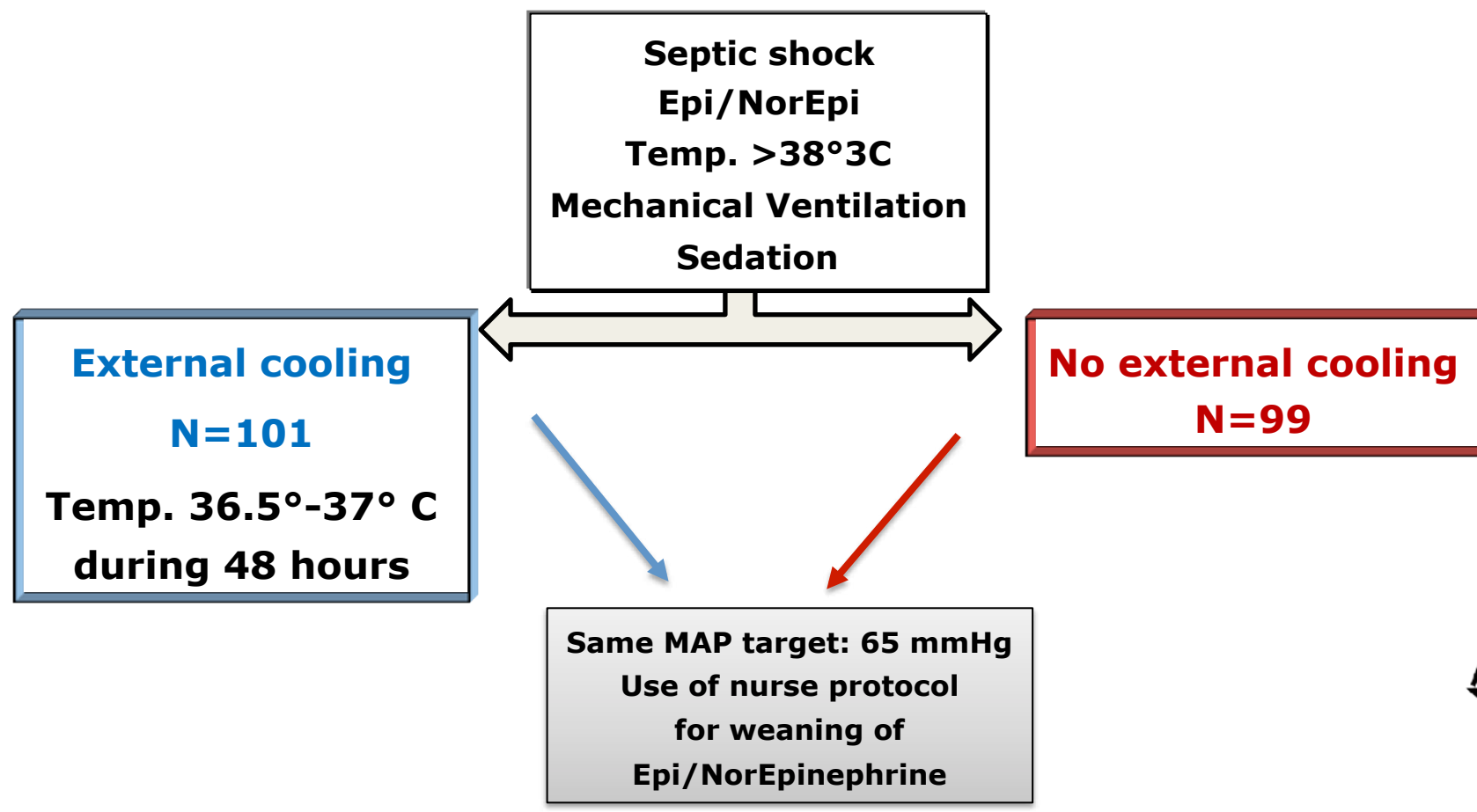
Hersch M, Raveh D, Izicki G. Pharmacotherapy 2008;28(10):1205-1210.

Fever Control Using External Cooling in Septic Shock

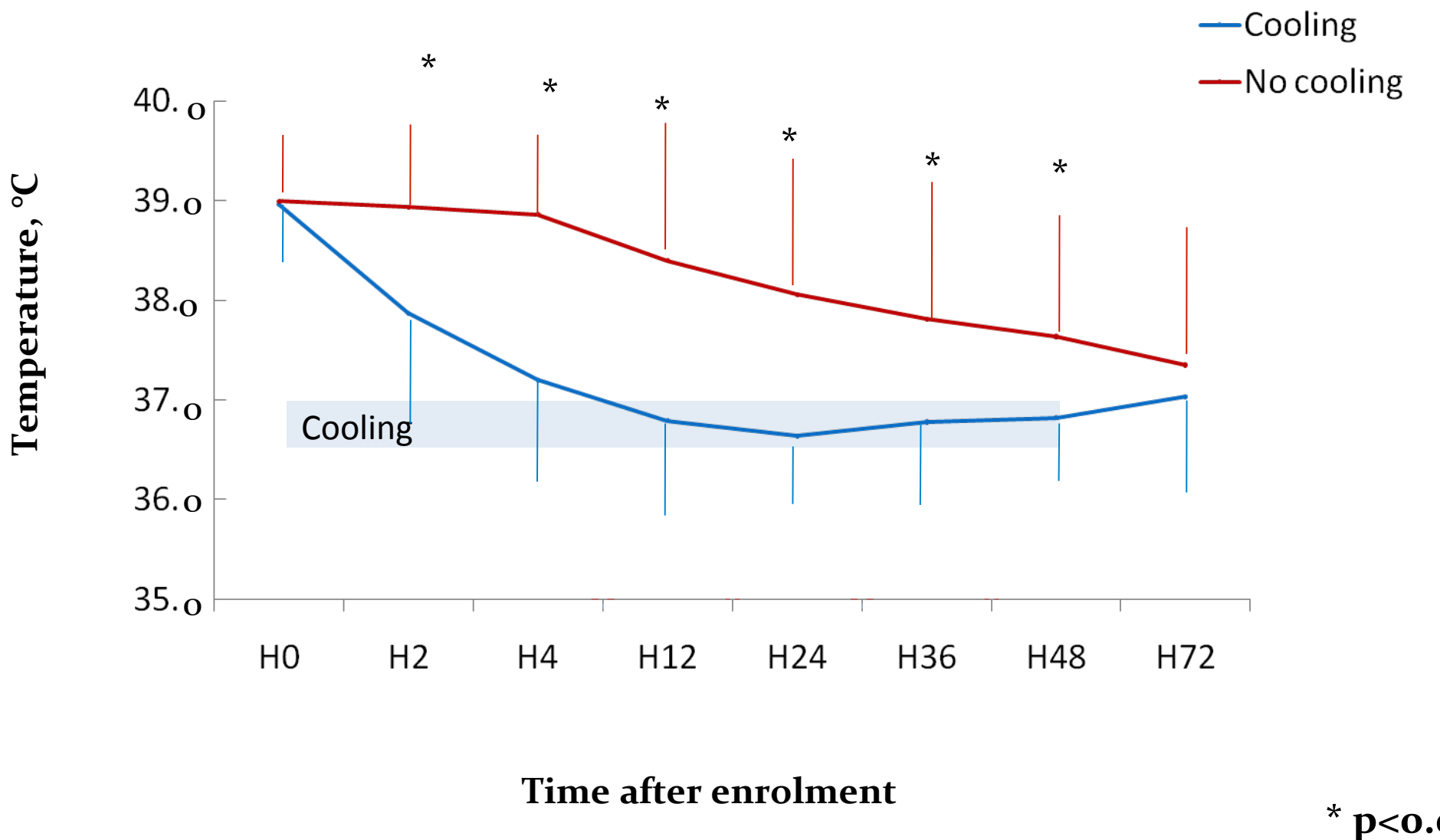
A Randomized Controlled Trial

Am J Respir Crit Care Med Vol 185, Iss. 10, pp 1088–1095, May 15, 2012

Frédérique Schortgen^{1,2}, Karine Clabault³, Sandrine Katsahian⁴, Jerome Devaquet⁵,
Alain Mercat⁶, Nicolas Deye⁷, Jean Dellamonica⁸, Lila Bouadma⁹, Fabrice Cook¹⁰, Olfa Beji¹,
Christian Brun-Buisson¹, François Lemaire¹, and Laurent Brochard^{1,2,11}



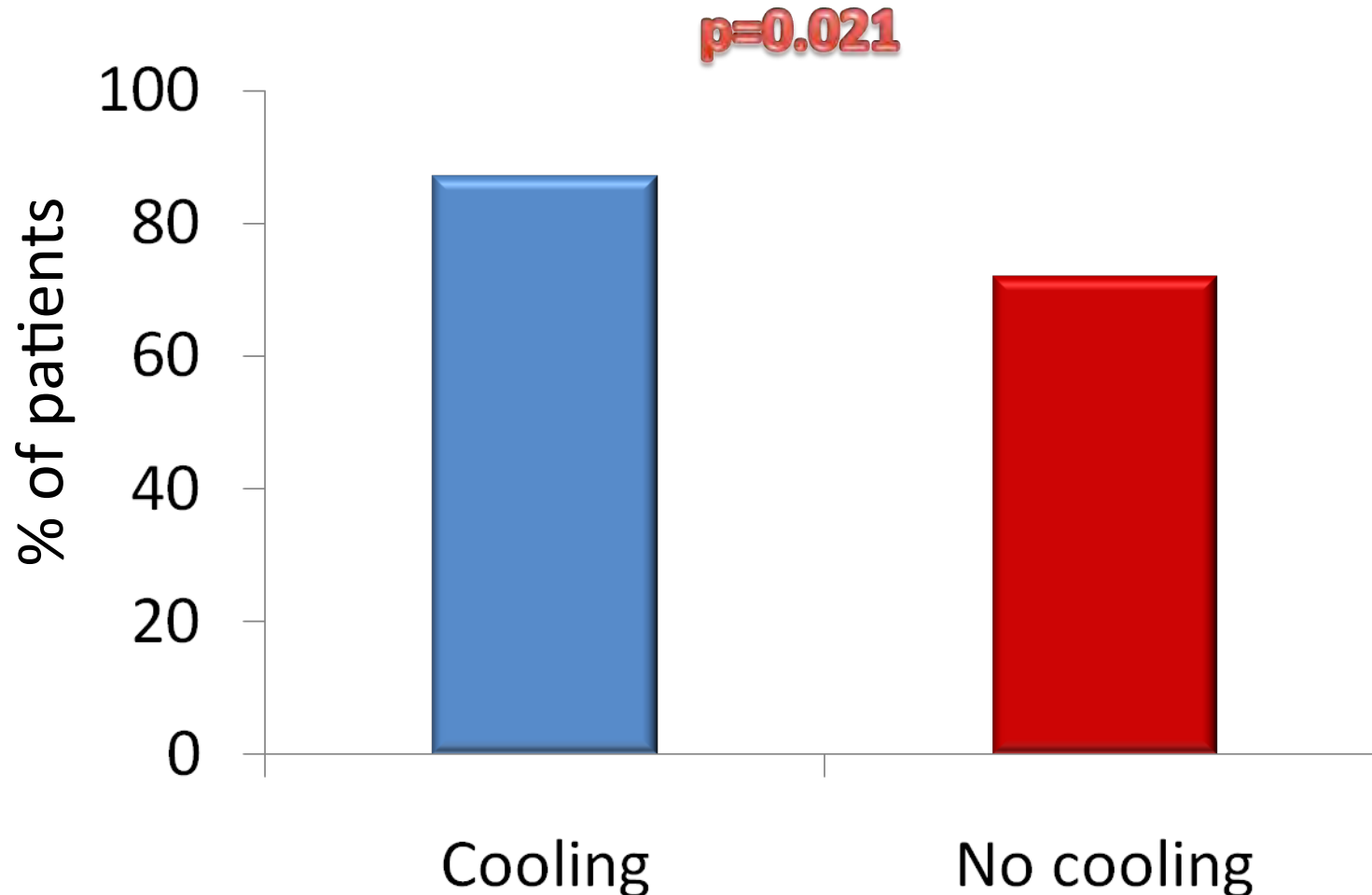
Body core temperature evolution after inclusion



Fever Control Using External Cooling in Septic Shock

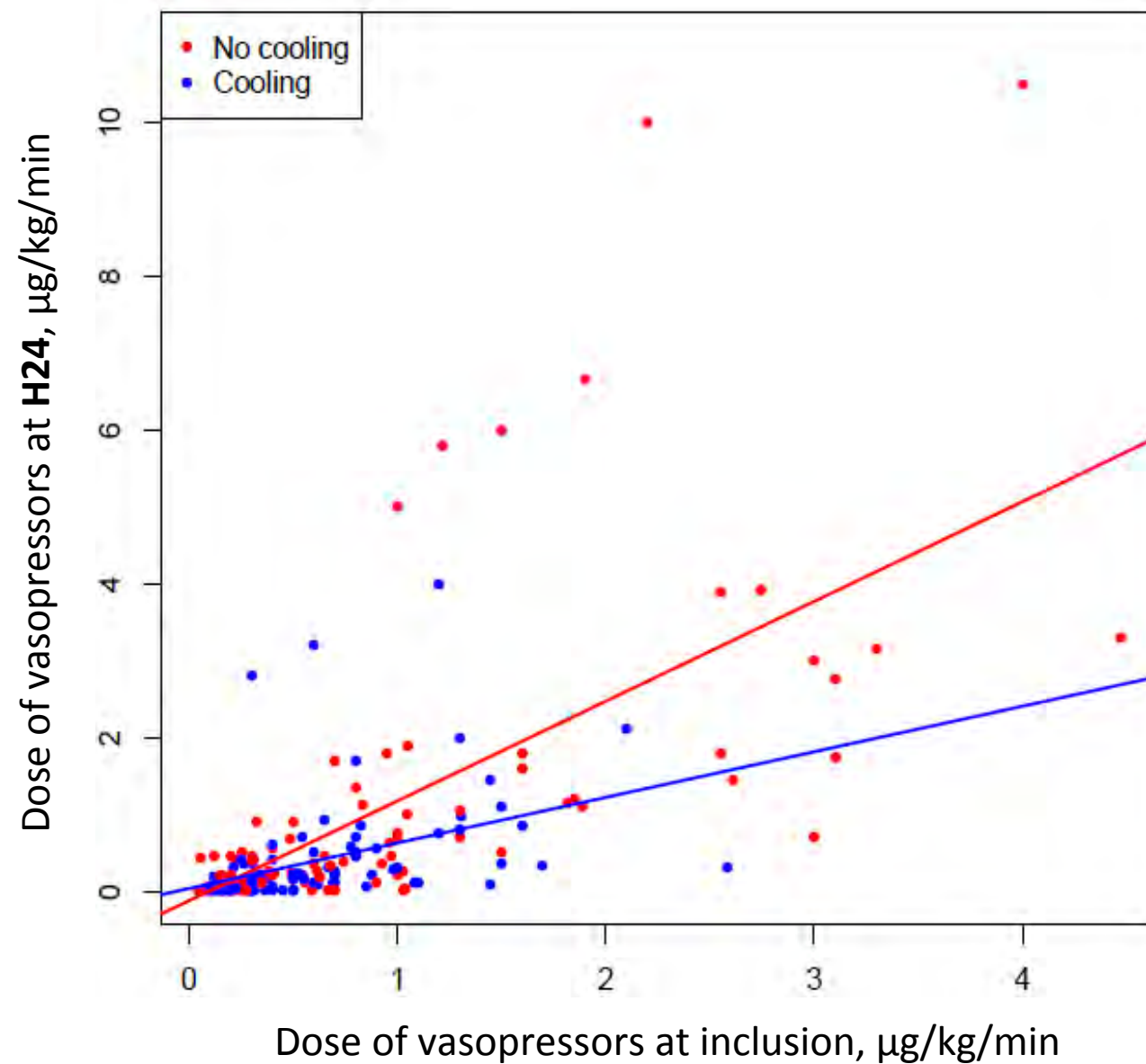
A Randomized Controlled Trial

Shock reversal in the ICU



Fever Control Using External Cooling in Septic Shock

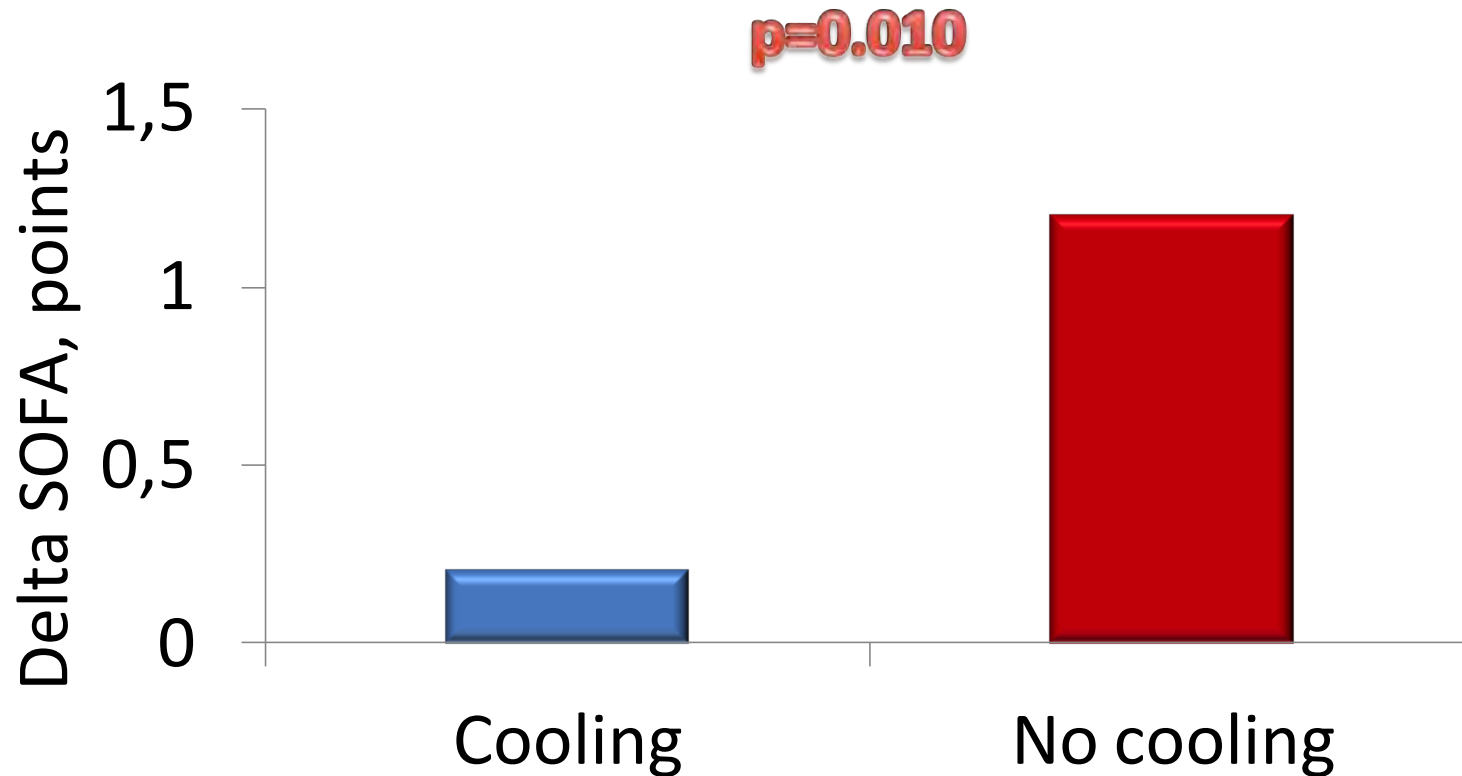
A Randomized Controlled Trial



Fever Control Using External Cooling in Septic Shock

A Randomized Controlled Trial

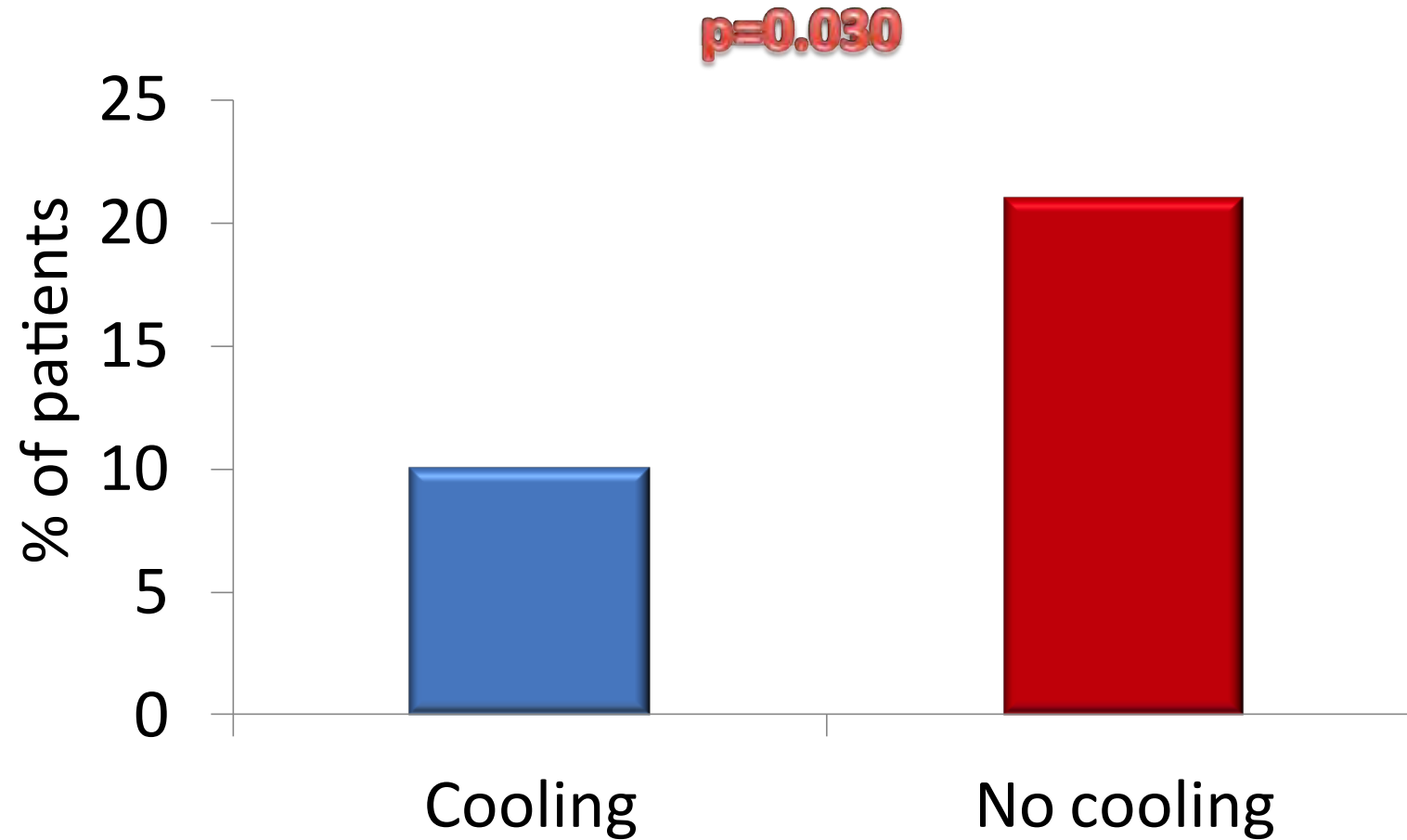
Evolution of organ failures



Fever Control Using External Cooling in Septic Shock

A Randomized Controlled Trial

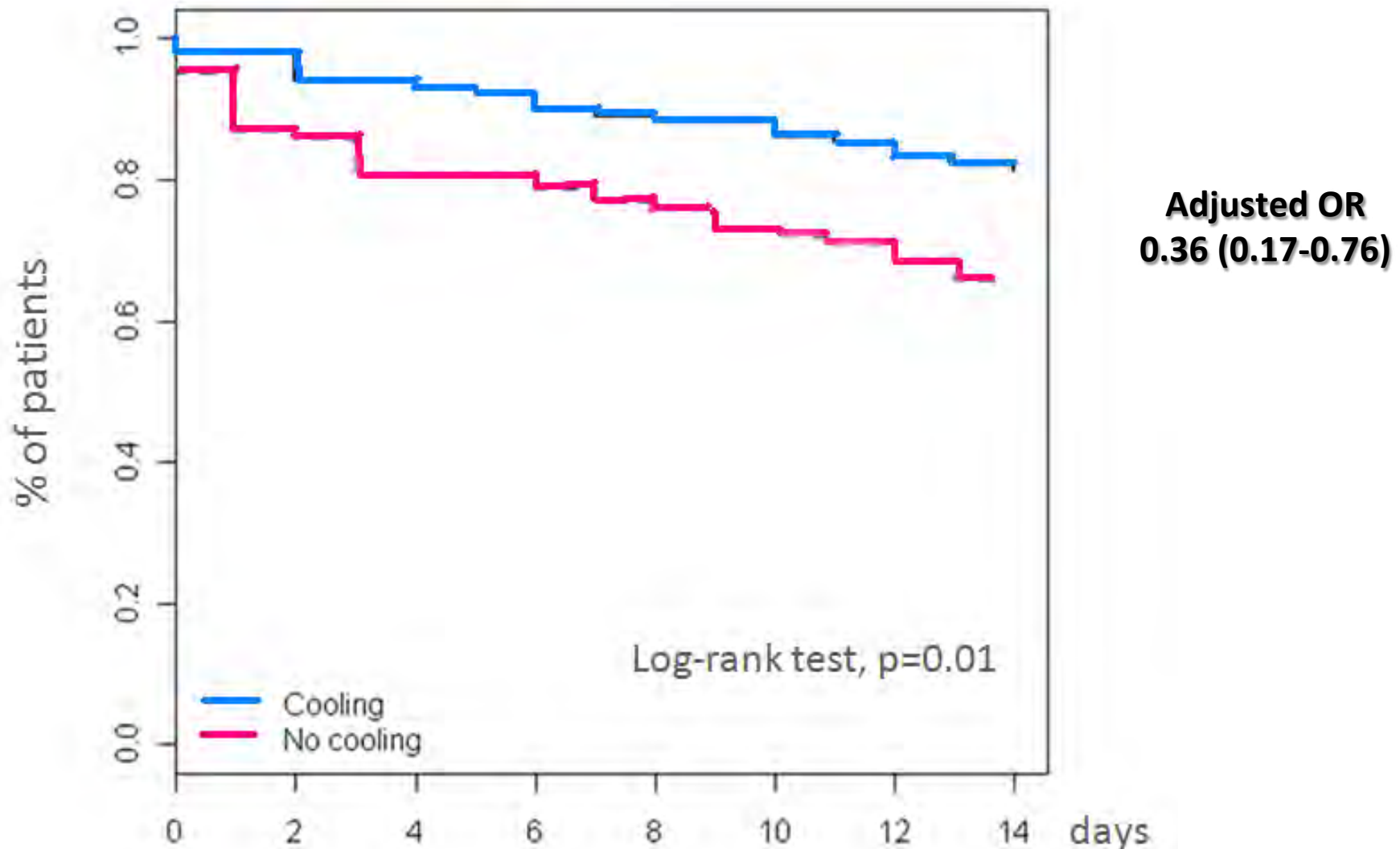
Need for RRT start



Fever Control Using External Cooling in Septic Shock

A Randomized Controlled Trial

Kaplan-Meier survival curve for mortality until day 14



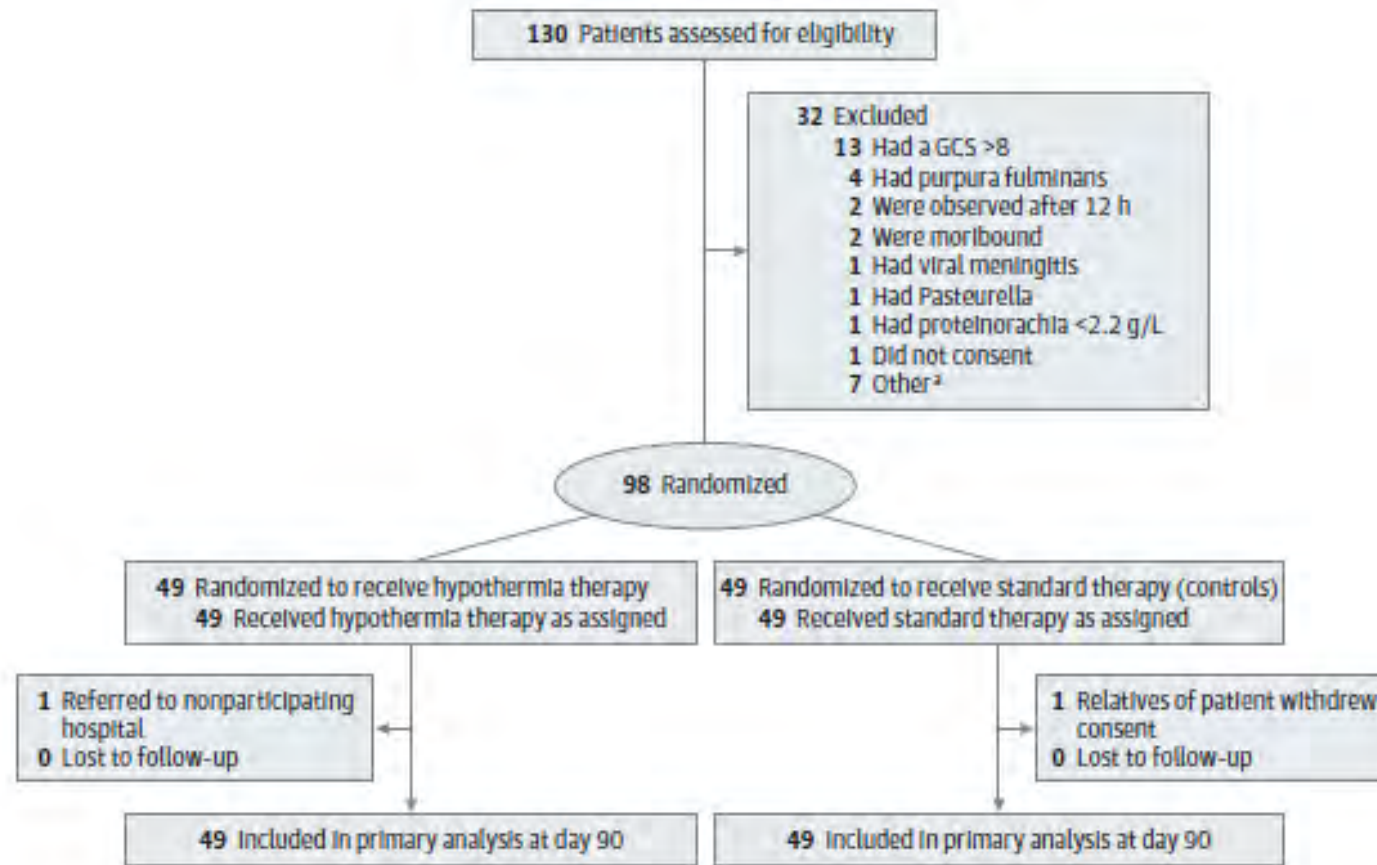
Favorable effect of cooling in which type of patients?

	Cooling N=101	No Cooling N=99
Characteristics at inclusion		
Age, y	62 (51-70)	61 (49-70)
PaO ₂ /FIO ₂ , mm Hg	165 (106–230)	153 (104–206)
SOFA score, points	11 (9.0-14.0)	11 (9.0-14.0)
ARDS, n	54	45
Source of infection, n		
Pulmonary	71	67
Abdominal	5	8
Uro-genital	4	8
Others	15	13
Not known	5	3
Appropriate antimicrobial therapy, n		
Yes	83	84
No	13	11
Unknown	5	4
Blood lactate level, mmol/l	2.2 (1.3-3.4)	2.4 (1.3-3.5)
Epi and/or nor epinephrine*		
Dose, µg/kg/min	0.50 (0.28-0.80)	0.63 (0.27-1.22)

* p=0.03

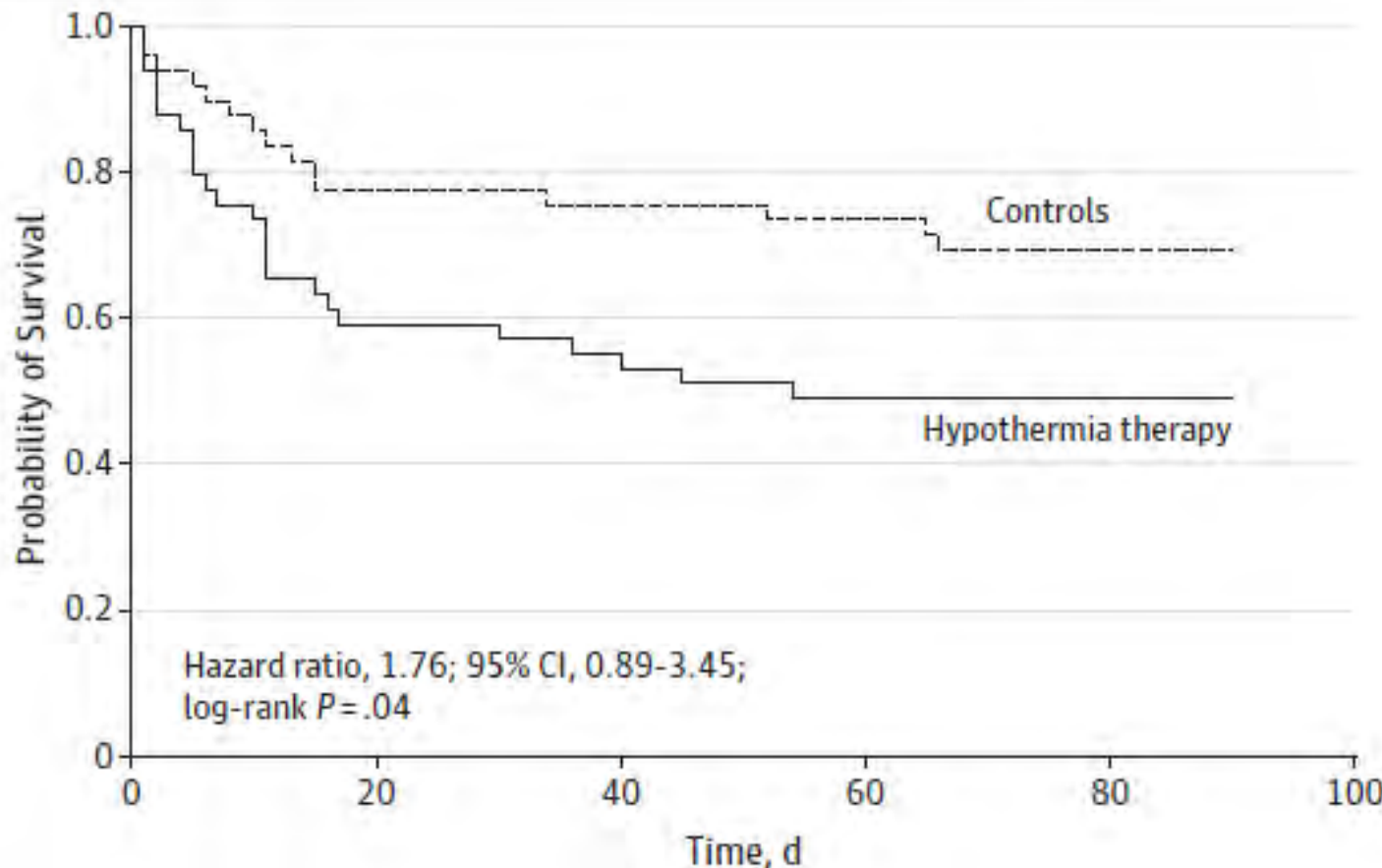
Induced Hypothermia in Severe Bacterial Meningitis A Randomized Clinical Trial

Bruno Mourvillier, MD; Florence Tubach, MD, PhD; Diederik van de Beek, MD, PhD; Denis Garot, MD; Nicolas Pichon, MD; Hugues Georges, MD; Laurent Martin Lefevre, MD; Pierre-Edouard Bollaert, MD; Thierry Boulain, MD; David Luis, MD; Alain Cariou, MD; Patrick Girardie, MD; Riad Chelha, MD; Bruno Megarbane, MD, PhD; Arnaud Delahaye, MD; Ludivine Chalumeau-Lemoine, MD; Stéphane Legriel, MD; Pascal Beuret, MD; François Brivet, MD; Cédric Bruel, MD; Fabrice Camou, MD; Delphine Chatellier, MD; Patrick Chillet, MD; Bernard Clair, MD; Jean-Michel Constantin, MD; Alexandre Duguet, MD; Richard Galliot, MD; Frédérique Bayle, MD; Hervé Hyvernat, MD; Kader Ouchenir, MD; Gaetan Plantefève, MD; Jean-Pierre Quenot, MD; Jack Richecoeur, MD; Carole Schwebel, MD; Michel Sirodot, MD; Marina Esposito-Farèse, PhD; Yves Le Tulzo, MD, PhD; Michel Wolff, MD



Induced Hypothermia in Severe Bacterial Meningitis A Randomized Clinical Trial

Bruno Mourvillier, MD; Florence Tubach, MD, PhD; Diederik van de Beek, MD, PhD; Denis Garot, MD; Nicolas Pichon, MD; Hugues Georges, MD;
Laurent Martin Lefevre, MD; Pierre-Edouard Bollaert, MD; Thierry Boulain, MD; David Luis, MD; Alain Cariou, MD; Patrick Girardie, MD; Riad Chelha, MD;
Bruno Megarbane, MD, PhD; Arnaud Delahaye, MD; Ludivine Chalumeau-Lemoine, MD; Stéphane Legriel, MD; Pascal Beuret, MD; François Brivet, MD;
Cédric Bruel, MD; Fabrice Camou, MD; Delphine Chatellier, MD; Patrick Chillet, MD; Bernard Clair, MD; Jean-Michel Constantin, MD; Alexandre Duguet, MD;
Richard Galliot, MD; Frédérique Bayle, MD; Hervé Hyvernat, MD; Kader Ouchenir, MD; Gaetan Plantefève, MD; Jean-Pierre Quenot, MD;
Jack Richecoeur, MD; Carole Schwebel, MD; Michel Sirodot, MD; Marina Esposito-Farèse, PhD; Yves Le Tulzo, MD, PhD; Michel Wolff, MD

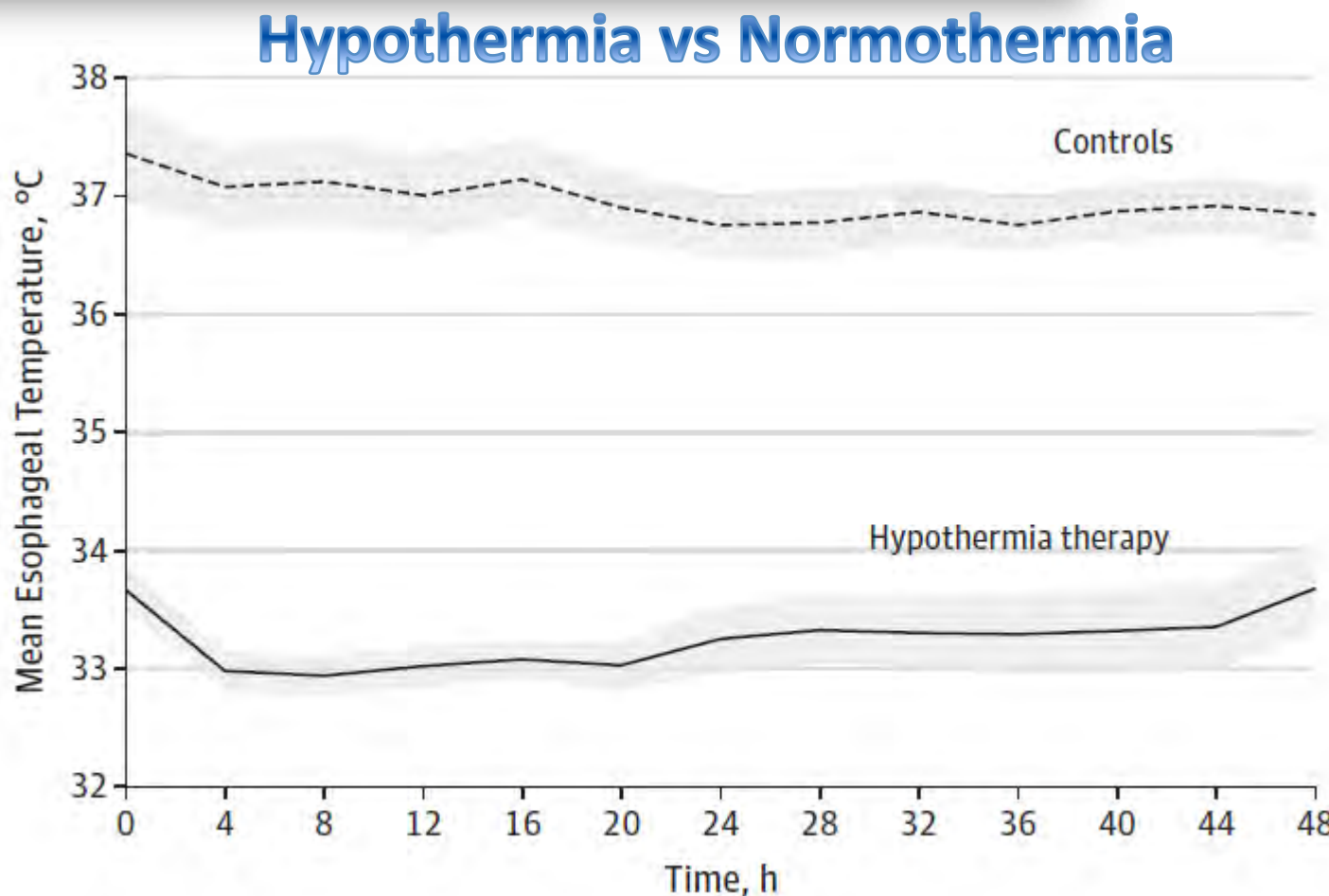


Characteristics	Hypothermia Group (n = 49)	Control Group (n = 49)
Male sex, No. (%)	28 (57)	31 (63)
GCS score on ICU admission, median (range)	7 (4-8)	7 (6-8)
SAPS II score, mean (SD) ^b	57 (16)	53 (17)
SOFA score, mean (SD) ^c	9 (3)	8 (4)
CSF leukocyte count, /µL		
Mean (SD)	4242 (9601)	2678 (5457)
Septic shock, No. (%)	18 (37)	10 (20)
Lactate, mean (SD), mg/dL	139.64 (90.09)	144.14 (54.05)
CSF culture results, No. (%)		
Streptococcus pneumoniae	37 (76)	38 (78)
Streptococcus bovis	1 (2)	0
Neisseria meningitidis	2 (4)	6 (12)
Listeria monocytogenes	1 (2)	2 (4)
Enterobacteriaceae	3 (6)	0
Mycobacterium tuberculosis	1 (2)	0
None	5 (10)	3 (6)
Positive soluble antigen, No. (%) ^d	19 (40)	24 (50)
Positive culture, No. (%) ^d	23 (48)	20 (42)
Positive PCR, No. (%) ^d	6 (13)	4 (8)
Corticosteroids, No. (%)	43 (88)	42 (87)
Hospital admission to first antibiotic dose	3.0 (1.1-4.8)	2.6 (1.4-4.9)
Hospital admission to first dose of corticosteroid ^e	5.8 (2.5-8.8)	4.3 (2.3-7.9)
Sedative drugs, No. (%)	14 (29)	13 (27)

Induced Hypothermia in Severe Bacterial Meningitis

A Randomized Clinical Trial

Bruno Mourvillier, MD; Florence Tubach, MD, PhD; Diederik van de Beek, MD, PhD; Denis Garot, MD; Nicolas Pichon, MD; Hugues Georges, MD; Laurent Martin Lefevre, MD; Pierre-Edouard Bollaert, MD; Thierry Boulain, MD; David Luis, MD; Alain Cariou, MD; Patrick Girardie, MD; Riad Chelha, MD; Bruno Megarbane, MD, PhD; Arnaud Delahaye, MD; Ludivine Chalumeau-Lemoine, MD; Stéphane Legriel, MD; Pascal Beuret, MD; François Brivet, MD; Cédric Bruel, MD; Fabrice Camou, MD; Delphine Chatellier, MD; Patrick Chillet, MD; Bernard Clair, MD; Jean-Michel Constantin, MD; Alexandre Duguet, MD; Richard Galliot, MD; Frédérique Bayle, MD; Hervé Hyvernat, MD; Kader Ouchenir, MD; Gaetan Plantefève, MD; Jean-Pierre Quenot, MD; Jack Richecoeur, MD; Carole Schwebel, MD; Michel Sirodot, MD; Marina Esposito-Farèse, PhD; Yves Le Tulzo, MD, PhD; Michel Wolff, MD



Conclusion

➤ **Le control de la fièvre:**

- n'empêche pas la guérison de l'infection
- permet une évolution plus favorable des défaillances
- diminue la mortalité précoce

➤ **Quand la fièvre est contrôlée:**

- chez des patients chez qui l'infection est traitée
- par un refroidissement externe chez des patients déjà sédatés
- sans induire d'hypothermie

Conclusion

Beaucoup de questions restent à résoudre

- Quel bénéfice sur la mortalité à plus long terme?
- Le bénéfice/risque dépend-t-il:
 - De l'origine de l'infection
 - De la sévérité
 - De la méthode utilisée, de la rapidité du contrôle thermique, d'un seuil de baisse de la température?
- L'hypothermie thérapeutique serait elle encore plus bénéfique?